

## 9. FUNDAMENTY

Najniższym elementem konstrukcyjnym budynku jest fundament, którego zadaniem jest przekazanie obciążen na podłoże gruntowe pod budynkiem w sposób bezpieczny, tj. w taki sposób, aby nie wystąpiły nadmierne jego osiadania.

### 9.1. Informacje ogólne

Aby zaprojektować fundamenty, należy najpierw ustalić warunki techniczne posadowienia, poprzez określenie kategorii geotechnicznej podłoża pod obiektem. Zgodnie z normą PN-B-02479:1998 [30] kategoria geotechniczna zależy głównie od złożoności warunków geotechnicznych oraz od wielkości obiektu budowlanego. Budynki murowane zalicza się najczęściej do katgorii pierwszej lub drugiej, co dotyczy o zakresie koniecznych badań geotechnicznych podłoża. Na podstawie wyników tych badań określane są parametry geotechniczne gruntów zalegających w podłożu i mających wpływ na nośność i osiadanie fundamentu.

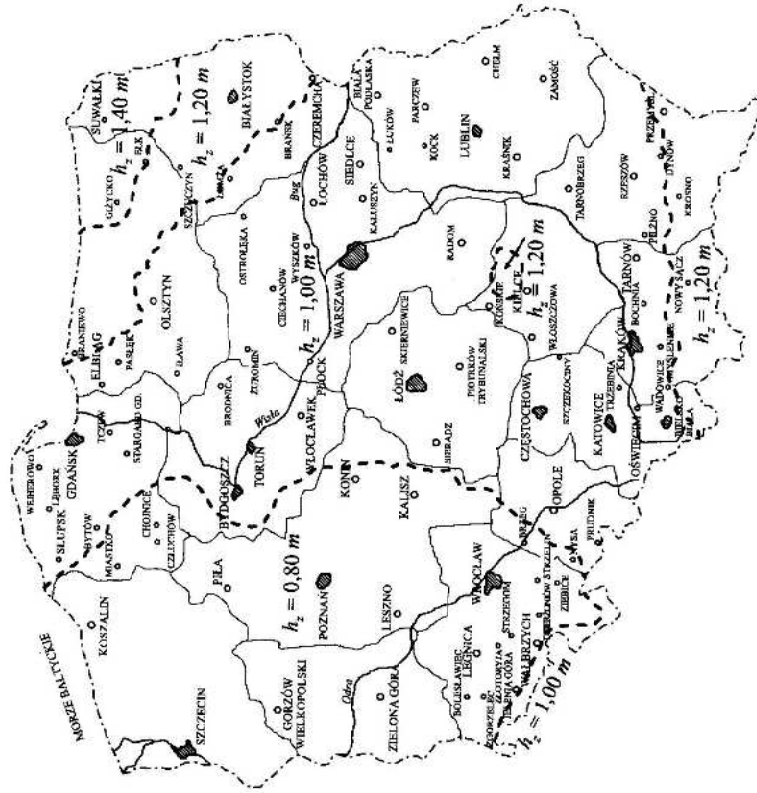
Głębokość posadowienia fundamentu (poziom jego podstawy) zależy między innymi od warunków wodno-gruntowych oraz warunków użytkowych (np. od tego, czy budynek jest podpiwniczony). W gruntach wysadzinowych, czyli w takich, w których zamazująca woda powoduje zwiększenie ich objętości, głębokość posadowienia fundamentu powinna znajdować się poniżej umownego poziomu głębokości przemarzania  $h_{zr}$  określonej w normie PN-81/B-03020 [34] (rys. 9.1).

Należy wyjaśnić, że do gruntów wysadzinowych zalicza się grunty organiczne oraz inne, zawierające więcej niż 10% zastępczych cząstek mniejszych niż 0,02 mm. Wymóg głębokości posadowienia poniżej poziomu przemarzania dotyczy również elementów konstrukcyjnych wyunietych z obrysu budynku, na przykład fundamentów pod schody zewnętrzne lub płyty tarasowe nieoddylatowane od ścian.

Ze względu na możliwość wypierania gruntu spod fundamentu zagłębienie jego podstawy poniżej powierzchni przyległego naziemu  $D_{min}$  (w tym również ponizej powierzchni posadzki w piwnicy) nie powinno być mniejsze niż 50 cm (rys. 9.2).

Poziom posadowienia fundamentów w budynku może być jednakoły (stały) lub zmienny, czyli dostosowany do naturalnego pochylenia terenu, bądź zróżnicowany ze względu na brak piwnic pod częścią budynku.

Ze względu na sposób przekazywania obciążenia na podłożo gruntowe fundamenty dzielą się na bezpośrednie lub pośrednie. Fundamenty bezpośrednie przekazują obciążenie bezpośrednio z podstawy na grunt, natomiast pośrednie za pomocą dodatkowych elementów nosnych (na przykład za pomocą pali, studni lub kesonów). W budynkach murowanych najczęściej wykonuje się fundamenty bezpośrednie. Szczegółowe informacje odnośnie do projektowania fundamentów zawarte są w pracy [15].



Rys. 9.1. Strefy umownej głębokości przemarzania gruntu  $h$ , wg normy PN-81/B-03020 [34]

## 9.2. Fundamenty bezpośrednie

W zależności od kształtu podstawy i konstrukcji fundamenty bezpośrednie dzierżą się na:

- fawy fundamentowe pod ścianami,
  - stopy fundamentowe pod stopami (filarami),
  - płyty fundamentowe pod całym budynkiem,
  - inne

Jeżeli głębokość wykopu jest mniejsza od 5,0 m, posadowienie nazywa się płytkim, w innym przypadku posadowienie nazywa się głębkim.

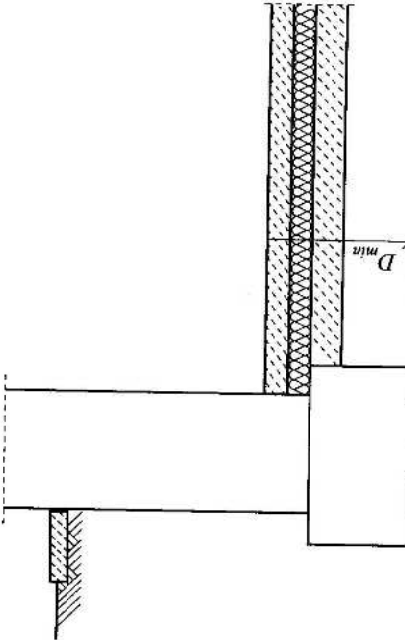
- Przy projektowaniu fundamentu bezpośredniego należy:

  - a) przyjąć schemat obliczeniowy podłoża – zazwyczaj dla law i stop przyjmuje się, że fundament jest sztywny,
  - b) ustalić głębokość posadowienia i wstępnie przyjąć wymiary fundamentu,
  - c) sprawdzić, czy są spełnione warunki stanu granicznego nośności podłoża,
  - d) sprawdzić, czy są spełnione warunki użytkowania budynku (np. osiadania),
  - e) sprawdzić, przyjmując opór gruntu jako obciążenie, czy przyjęta wysokość fundamentu betonowego jest wystarczająca z uwagi na ściananie lub określić średnicę i rozstaw pretów zbrojenia w fundamentencie żelbetowym.

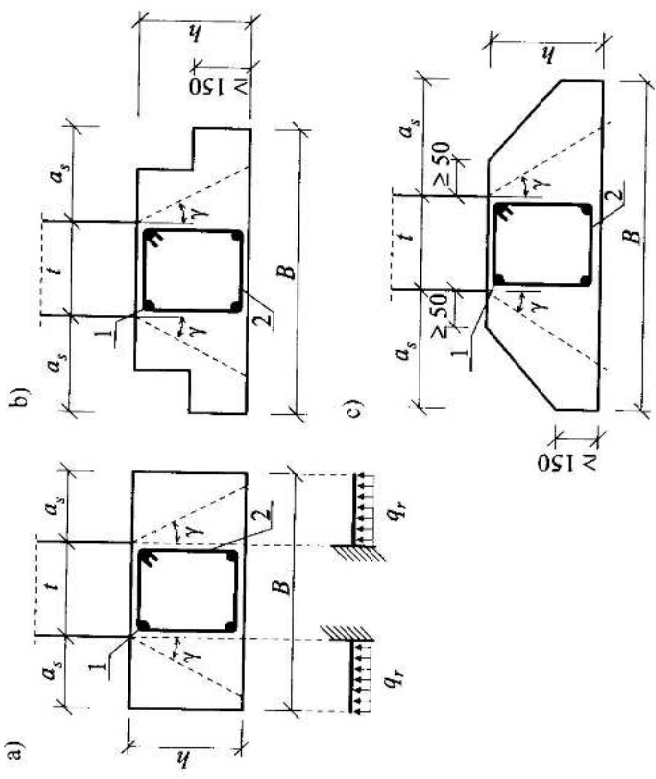
### 9.3. Lawy fundamentowe

W budynkach murowanych o konstrukcji ścianowej obecnie najczęściej wykonuje się tawy fundamentowe betonowe lub żelbetowe. Szerokość ławy fundamentowej  $B$  powinna być co najmniej o 10 cm większa niż szerokość postawionej na niej ściany – minimalna szerokość odsadzki  $a_s$  wynosi 5 cm. Ława może być usytuowana pod ścianą symetrycznie (odsadzki są wtedy jednakowe) lub niesymetrycznie. Przekroje nontrzewne betonowej ławy fundamentowej mogą być prostokątny, sześciokątny, itp.

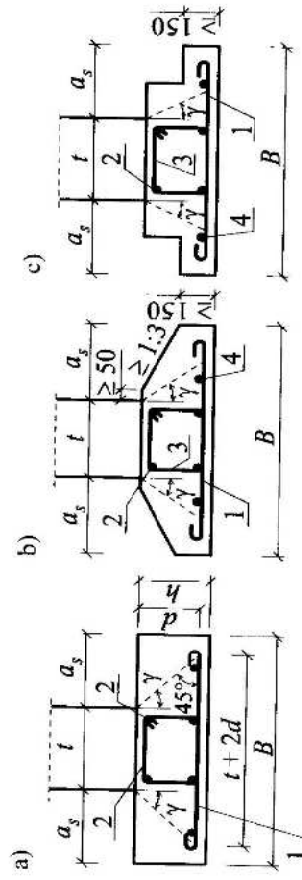
kowy lub trapezowy (rys. 9.3). Wysokość ławy betonowej  $h$  nie powinna być mniejsza niż 30 cm, a w przypadku ław schodkowych lub trapezowych na końcu wspornika nie mniejsza niż 15 cm. W ławach o wysokości do 50 cm stosuje się kształt prostokątny, a w wyższych schodkowy lub trapezowy. Gdyby ława betonowa miała mieć wysokość większą niż 60 cm, należy rozważyć, ze względów ekonomicznych, zaprojektowanie ławy żelbetowej. Kształty ław fundamentowych żelbetowych pokazano na rysunku 9.4.



Rys. 9.2. Minimalne zagębienie podstawy fundamentu poniżej powierzchni przyległego



Rys. 9.3. Przekroje poprzeczne ław fundamentowych żelbetowych: a) prostokątny, b) schodkowy, c) trapezowy; 1 – zbrojenie główne poprzeczne, 2 – strzemiona,  $\gamma$  – kąt rozkładu naprężeń w betonie ( $33,5^\circ$ )



Rys. 9.4. Przekroje poprzeczne ław fundamentowych żelbetowych: a) prostokątny, b) trapezowy, c) schodkowy; 1 – zbrojenie główne poprzeczne, 2 – zbrojenie podłużne, 3 – strzemiona, 4 – przęsy rozdzielcze,  $\gamma$  – kąt rozkładu naprężeń w żelbecie ( $45^\circ$ )

Aby zabezpieczyć ławę fundamentową betonową lub żelbetową przed zarysowaniem lub spekaniami spowodowanymi na przykład nierównomiernym osiadaniem gruntu pod budynkiem, zaleca się zaznaczyć ją konstrukcyjnie – wzdużnie 4 przęślami o średnicy  $12 \div 20$  mm i strzemionami rozstawionymi nie rzadziej niż co 30 cm, umieszczoneymi w obrębie ściany (rys. 9.3 lub 9.4).

Gdy nad ławą na pewnym odcinku nie ma ściany, na przykład w ścianie piwnic jest zaprojektowany otwór na bramę garażową, to ławę należy obliczać jak belkę zginaną, ciągłą, obciążoną odgórnem gruntu (rys. 9.5). Momenty w tej belce należy obliczyć ze wzoru:

$$M = -M = \frac{q_r \cdot l_{\text{eff}}^2}{12}, \quad (9.1)$$

gdzie:

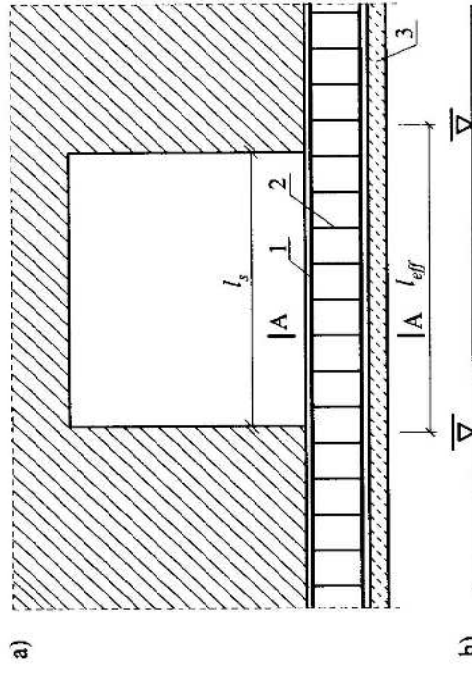
$$l_{\text{eff}} = 1,05 l_s,$$

$l_s$  – szerokość otworu w świetle (rys. 9.5),

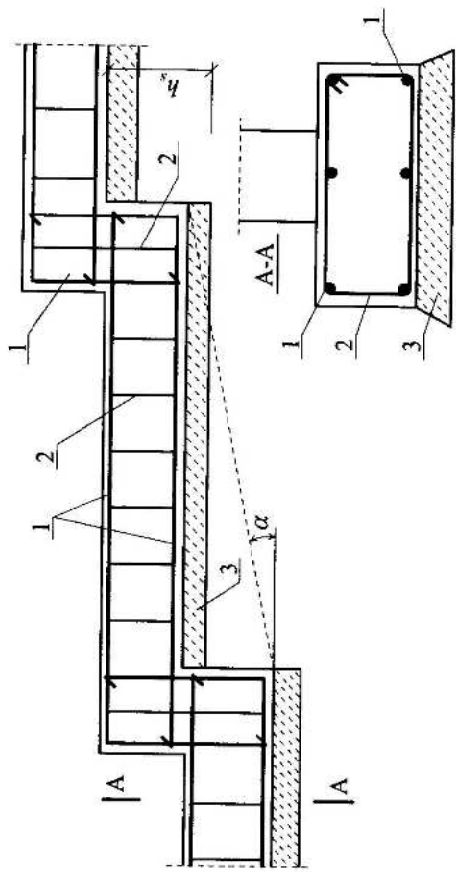
$q_r$  – oddziaływanie podłożu gruntuowego na ławę.

W przypadku poziomu zmiennego ławy fundamentowej należy wykonywać schodkowo. Zalecana wysokość schodka  $h_s$  wynosi około 30 cm, a kąt  $\alpha$  zawarty między poziomem a linią łączącą schodki (rys. 9.6) powinien być taki, aby  $\operatorname{tg} \alpha = 0,33 \div 0,50$ .

Szerokość  $B$  ławy fundamentowej betonowej, w przypadku gdy podłożo pod fundamentem jest jednorodne, określa się na podstawie obliczeniowego oporu granicznego podłożu gruntuowego, tak aby spełniony był warunek określony wzorem:



Rys. 9.5. Ława fundamentowa pod ścianą z otworem: a) widok ławy i ściany z otworem, b) schemat statyczny, c) wykres momentów; 1 – przęsło dodatkowego zbrojenia belki-tawy, 2 – strzemienna, 3 – podlewka z betonu klasy B10



Rys. 9.6. Ława fundamentowa o zmiennym poziomie posadowienia: 1 – przy zbrojeniu głownego, 2 – strzemińska, 3 – podlewnka z betonu klasy B10,  $\alpha$  – kąt zawarty między poziomem a linią kątczą schodki,  $k_f$  – wysokość schodka

$$N_r \leq m \cdot Q_{PNB}, \quad (9.2)$$

gdzie:

$N_r$  – obliczeniowa wartość pionowej składowej obciążenia,  
 $m$  – współczynnik korekcyjny zależny od metody wyznaczania parametrów geotechnicznych i metody obliczania oporu granicznego, określany wg zasad podanych w normie PN-81/B-03020 [34]; najczęściej  $m = 0,9 \cdot 0,9 = 0,81$ ,

$Q_{PNB}$  – pionowa składowa obliczeniowego oporu granicznego określona wzorem:

$$Q_{PNB} = \bar{B} \left[ \left( 1 + 0,3 \frac{\bar{B}}{L} \right) \cdot N_c \cdot c_n^{(r)} \cdot i_c + \left( 1 + 1,5 \frac{\bar{B}}{L} \right) \cdot N_d \cdot \rho_d^{(r)} \cdot g \cdot D_{min} \cdot i_d + \left( 1 - 0,25 \frac{\bar{B}}{L} \right) \cdot N_u \cdot \rho_u^{(r)} \cdot g \cdot \bar{B} \cdot i_u \right] \quad (9.3)$$

gdzie:

$L, \bar{B}$  – wymiary podstawy fundamentu, przy czym  $L > B$ ,  
 $\bar{B}$  – wymiary zredukowane podstawy fundamentu,  
 $L = L - 2e_L$ ,  $\bar{B} = B - 2e_B$ ,

$e_L, e_B$  – mniejszość działania obciążenia, odpowiednio w kierunku równoległym do  $L, \bar{B}$ ,

$N_c, N_d, N_u$  – współczynniki nośności zależne od obliczeniowej wartości kąta tarcia wewnętrznej gruntu zalegającego poniżej poziomu posadowienia, określane z nomogramów lub tabel w załączniku 1 do normy PN-81/B-03020 [34],

- $\rho_D^{(r)}$  – średnia wartość obliczeniowa gęstości gruntów (ew. warstw podlogi) zalegających powyżej poziomu posadowienia,
- $\rho_B^{(r)}$  – średnia wartość obliczeniowa gęstości gruntów zalegających poniżej poziomu posadowienia,

- $g$  – przyspieszenie ziemskie, można przyjmować  $g = 10 \text{ m} \cdot \text{s}^{-2}$ ,
- $i_c, i_d, i_B$  – współczynniki wpływu nachylenia wypadkowej obciążenia obliczeniowego, wyznaczane z nomogramów w załączniku 1 do normy PN-81/B-03020 [34].

W przypadku law fundamentowych o  $L > B$  można przyjąć, że stosunek  $B/L = 0$ . Jako długość lawy  $L$  naliczyć brąć wówczas pod uwagę jej rzeczywistą długość, a nie przyjmowany w obliczeniach zastępcość odcinek 1 metra.

Dla prostych przypadków posadowienia, gdy składowa pozioma obciążenia jest mniejsza od 10% składowej pionowej, gdy budynek nie jest usytuowany na zboczu lub w jego pobliżu i obok nie projektuje się wykopów lub dodatkowego obciążenia oraz gdy  $e_B \leq 0,035$ , dopuszcza się sprawdzenie stanu granicznego nośności wg wzorów (9.4) i (9.5):

$$q_{rs} \leq m \cdot q_f, \quad (9.4)$$

$$q_{r,max} \leq 1,2 \cdot m \cdot q_f, \quad (9.5)$$

gdzie:

$q_{rs}$  – średnie obliczeniowe obciążenie jednostkowe podłożu pod fundamentem, bez uwzględnienia składowej poziomej obciążenia,

$q_{r,max}$  – maksymalne obliczeniowe obciążenie jednostkowe podłożu pod fundamentem, bez uwzględnienia składowej poziomej obciążenia,

$q_f$  – obliczeniowy opór jednowarstwowego podłożu pod fundamentem, obliczony zgodnie z wzorem:

$$q_f = \left( 1 + 0,3 \frac{B}{L} \right) \cdot N_c \cdot c_n^{(r)} + \left( 1 + 1,5 \frac{B}{L} \right) \cdot N_d \cdot D_{min} \cdot \rho_d^{(r)} \cdot g + \left( 1 - 0,25 \frac{B}{L} \right) \cdot N_u \cdot B \cdot \rho_u^{(r)} \cdot g, \quad (9.6)$$

gdzie: oznaczenia jak we wzorze (9.3).

W praktyce sprawdzenia warunku (9.2) lub (9.4) dokonuje się dla zalożonej szerokości fundamentu  $B$ . Następnie metoda kolejnych prób dobra się taką szerokością, aby warunki (9.2) lub (9.4) były zbliżone do równości (ze względu ekonomicznych tawa nie powinna być za szerszą).

Wysokość betonowej lawy fundamentowej  $h$  (rys. 9.3) należy określić ze względu na zginanie wspornika ze wzoru (9.7) oraz ze względu na przebiegu (scinanie) ze wzoru (9.11):

$$h \geq \sqrt{\frac{M_{sd}}{f_{end} \cdot W_f}} = 0,297 \sqrt{\frac{M_{sd}}{f_{end}}}, \quad (9.7)$$

gdzie:

$M_{Sd}$  – moment zginający wspornik tawy, określony względem krawędzi ściany, (rys. 9.3) dla odcinka 1 m tawy, obliczony ze wzoru:

$$M_{Sd} = q_r \cdot 1,00 \cdot \frac{a_s^2}{2} = \frac{N_r \cdot a_s^2}{B \cdot 2}, \quad (9.8)$$

$f_{cm}$  – wytrzymałość średnia betonu na rozciąganie w konstrukcjach betonowych,  $f_{cd}$  – obliczeniowa wartość wytrzymałości betonu na rozciąganie w konstrukcjach betonowych, określona w sytuacjach trwałych i przejściowych ze wzoru:

$$f_{cd} = 0,7 \frac{f_{cm}}{1,8}, \quad (9.9)$$

$W_f$  – wskaźnik wytrzymałości przekroju betonowego z uwzględnieniem plastycznych własności betonu, dla przekroju prostokątno określony ze wzoru:

$$W_f = 0,292 \cdot 1,0 \cdot h^2. \quad (9.10)$$

Ścinanie betonu na odcinku 1 m tawy betonowej (przebicie lawy) należy sprawdzić w miejscu przecięcia podstawy przez płaszczyznę pochyloną pod kątem  $\gamma = 33,5^\circ$  i wyprowadzoną z krawędzi ściany (rys. 9.3), tak aby był spełniony warunek:

$$V_{Sd} \leq V_{R,tl}, \quad (9.11)$$

gdzie:

$V_{Sd}$  – obliczeniowa sila ścinająca w miejscu przecięcia się płaszczyzny ścinania z podstawa fundamentu,

$$V_{R,tl} = [0,35 \cdot k \cdot f_{cd} \cdot (1,2 + 40 \cdot \rho_t) + 0,15 \cdot \sigma_{tp} \cdot b_w \cdot d], \quad (9.12)$$

gdzie: oznaczenia wg normy PN-B-03264:2002 [37].

Szerokość  $B$  żelbetowej tawy fundamentowej sprawdza się podobnie jak szerokość lawy betonowej. Pole przekroju zbrojenia poprzecznego oblicza się dla momentu  $M_{Sd}$ , zgodnie z zasadami teorii żelbetu podanymi w pracy [7]. W tawie żelbetowej, podobnie jak w tawie betonowej, wykonuje się usztywnienie podłużne w postaci belki-więzaka (rys. 9.4). Wysołość prostokątnej tawy żelbetowej  $h$  nie powinna być mniejsza niż 20 cm, a schodkowej lub trapezowej na końcu wspornika nie mniejsza niż 15 cm. Ze względu na przebicie wysokość lawy żelbetowej powinna spełniać warunek wynikający ze wzoru (9.11), przy czym wartość nośności  $V_{R,tl}$  określa się ze wzoru:

$$V_{R,tl} = f_{cd} \cdot u_p \cdot d, \quad (9.13)$$

gdzie:  
 $f_{cd}$  – obliczeniowa wartość wytrzymałości betonu na rozciąganie w konstrukcjach żelbetowych,

$u_p$  – średnia arytmetyczna długości powierzchni na którą działa sila  $V_{Sd}$  i powierzchni powstającej w poziomie zbrojenia przy rozkładzie naprężenia pod kątem  $45^\circ$ ,

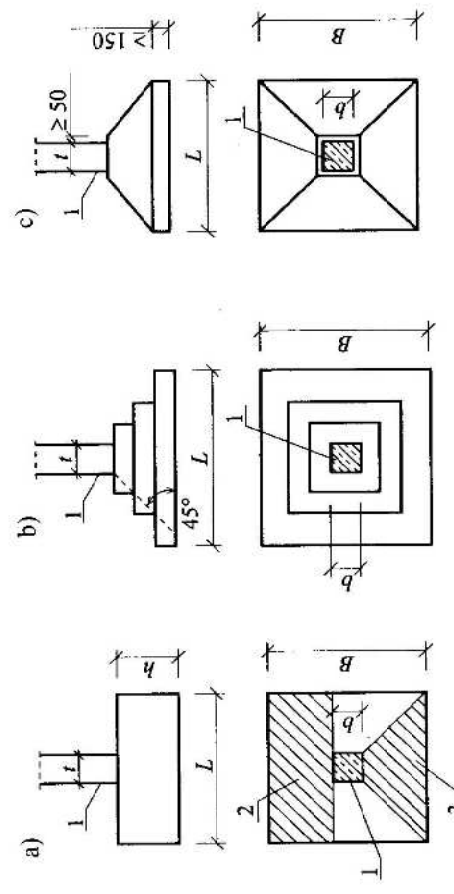
$d$  – wysokość obliczeniowa przekroju lawy.

## 9.4. Stopy fundamentowe

Stopy fundamentowe przenoszą na grunt obciążenie zc skupów żelbetowych lub stalowych albo z filarów murowanych. Przekroje pionowe stop (w obu kierunkach) są podobne do przekrejów law fundamentowych (rys. 9.7).

Wymiar stopy fundamentowej (długość  $L$  i szerokość  $B$ ) obciążonej osiowo sprawdza się podobnie jak szerokość tawy fundamentowej, ze wzorów (9.2) i (9.3). Wysokość stopy należy sprawdzać z warunku na zginanie wsporników (przyjmuje się wsporniki zamocowane względem krawędzi shupa, o powierzchni rzutu poziomego w kształcie prostokąta lub trapezu – rys. 9.7a) ze wzorów (9.7) i (9.8). Ekonomiczna, ze względu na minimalizację zużycia materiałów, wysokość stopy żelbetowej można określić ze wzoru przybliżonego:

$$h = 0,30 \div 0,40 \cdot (L - t). \quad (9.14)$$



Rys. 9.7. Stopy fundamentowe betonowe lub żelbetowe: a) prostokątna, b) schodkowa, c) trapezowa; 1 – shup, 2 – prostokątne pole powierzchni obciążenia wspornika, 3 – trapezowe pole powierzchni obciążenia wspornika

## 9.5. Przykłady obliczeń

Zaprojektować tawy fundamentowe betonowe pod ścianami konstrukcyjnymi: zewnętrzny i wewnętrzny, w budynku opisanym w Poz. obl. 7.1. Widok elewacji i rzut parteru budynku w rejonie rozpatrywanych ścian przedstawiono na rysunku 7.22, a przekrój budynku i układ sił działających na tawy fundamentowe na rysunku 7.23. Przyjęto, że tawy zostaną wykonane z betonu klasy B20, o wytrzymałości  $f_{ckm} = 1,9 \text{ MPa}$ .

Poziom posadzki piwnicy znajduje się 0,94 m ponizej poziomu terenu. Wykop szerokoprzeszerny pod budynek zostanie wykonany do poziomu spodu posadzki,

a w miejscu law fundamentowych zostaną wykonane wykopy liniowe do poziomu posadowienia law.

Na podstawnie badań geotechnicznych przeprowadzonych metodą B [15] stwierdzono, że grunty, na którym ma być posadowiony budynek, składa się z 5-metrowej warstwy piasku grubego średnio zaleszczonego, wilgotnego, o  $I_D = 0,56$ , a poziom wód gruntowych znajduje się na głębokości 7,80 m poniżej poziomu terenu. Budynek znajduje się na terenie płaskim. Na podstawie normy PN-81/B-03020 [24] określono:

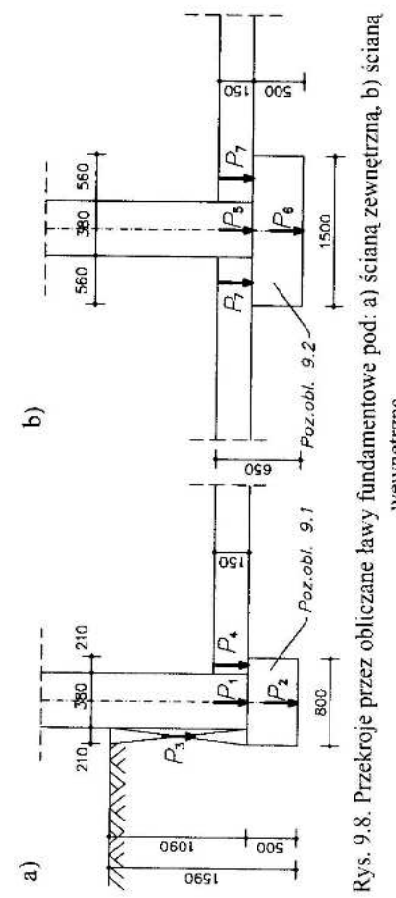
- ciężar objętościowy gruntu  $\gamma^{(n)} = 1,85 \cdot \text{KN/m}^3$ ,
- kat tarcia wewnętrznego  $\Phi_a^{(n)} = 33,4^\circ$  (grunt rodzimy):

$$\Phi_u^{(n)} = \Phi_a^{(n)} \cdot \gamma_m = 33,4 \cdot 0,9 = 30,06^\circ, \text{ dla którego odczytano z PN-81/B-03020 [34]: } \\ N_D = 18,40, N_C = 30,14, N_B = 7,53, i_D = 0, i_C = 0, i_B = 0.$$

Na rysunku 9.8 przedstawiono przekroje poprzeczne przez obliczane lawy fundamentowe pod ścianami: zewnętrzną i wewnętrzną.

Zgodnie z rysunkami 7.22 i 7.23 przyjęto następujące dane geometryczne:

- głębokość posadowienia  $D = 1,59 \text{ m}$  i  $D_{min} = 0,65 \text{ m}$ ,
- wysokość law  $h = 0,50 \text{ m}$ ,
- długość law  $L = 30,27 \text{ m}$  (Poz. obl. 7.1).



Rys. 9.8. Przekroje przez obliczane lawy fundamentowe pod: a) ścianą zewnętrzną, b) ścianą wewnętrzną

Poz. obl. 9.1. OBLCZENIE LAWY FUNDAMENTOWEJ POD ŚCIANĄ ZEWNĘTRZNĄ

#### Zestawienie obciążenia

Dla lawy fundamentowej pod ścianą zewnętrzną przyjęto do obliczeń:

- szerokość lawy  $B = 0,80 \text{ m}$ ,
- szerokość ściany  $t = 0,38 \text{ m}$ ,
- szerokość odsadzki  $s = 0,21 \text{ m}$ .

Z Poz. obl. 7.1 wynika, że obciążenie pionowe od dachu, ścian i stropów budynku przekazywany ze ściany na fundament:

$$M_1 = P_1 \cdot e_a = 148,93 \cdot 0,01 = 1,49 \text{ KN/m.}$$

Ciężar lawy:

$$P_2 = 0,50 \cdot 0,80 \cdot 24,0 \cdot 1,1 = 10,56 \text{ KN/m.}$$

Ciężar gruntu zalegającego nad odsadzką lawy z zewnątrz budynku wynosi:

$$P_3 = 0,21 \cdot 1,09 \cdot 18,0 \cdot 1,2 = 4,94 \text{ KN/m.}$$

Ciężar posadzki od strony piwnicy wynosi:

$$P_4 = 0,21 \cdot 0,15 \cdot 23,0 \cdot 1,3 = 0,94 \text{ KN/m.}$$

Obciążenie pionowe podłożu wynosi:

$$N_1 = 148,93 + 10,56 + 4,94 + 0,94 = 165,37 \text{ KN/m.}$$

Moment powodowany wypadkową obciążeniem podłożu względem środka podstawy lawy wynosi:

$$M_2 = M_1 + P_3 \cdot 0,295 - P_4 \cdot 0,295 = 1,49 + 4,94 \cdot 0,295 - 0,94 \cdot 0,295 = 2,67 \text{ kNm.}$$

Mimośród obciążenia podłożu obliczony względem środka podstawy lawy wynosi:

$$e_B = M_2/N_1 = 2,67/165,37 = 0,016 \text{ m} < B/4 = 0,80/4 = 0,20.$$

Wypadkowa obciążenie znajduje się w rdzeniu podstawy.

Sprawdzenie stanu granicznego nośności lawy

Parcie jednostkowe wynosi:

$$q_{r,max} = \frac{N_1}{B} \cdot \left( 1 + \frac{6 \cdot e_B}{B} \right) = \frac{165,37}{0,80} \cdot \left( 1 + \frac{6 \cdot 0,016}{0,80} \right) = 231,52 \text{ kPa,}$$

$$q_{r,min} = \frac{N_1}{B} \cdot \left( 1 - \frac{6 \cdot e_B}{B} \right) = \frac{165,37}{0,80} \cdot \left( 1 - \frac{6 \cdot 0,016}{0,80} \right) = 181,92 \text{ kPa.}$$

W celu ustalenia jednostkowego oporu obliczeniowego podłożu wykorzystano wzór uproszczony, ponieważ  $e_B = 0,016 < 0,035$ , zatem:

$$\rho_D^{(r)} \cdot g \cdot D_{min} = (1,85 \cdot 9,81 \cdot 0,9) \cdot 0,50 + (23,0 \cdot 0,8) \cdot 0,15 = 10,93 \text{ KN/m}^3,$$

$$\rho_B^{(r)} \cdot g = 1,85 \cdot 9,81 \cdot 0,9 = 16,33 \text{ KN/m}^3,$$

$$q_f = \left[ \left( 1 + 1,5 \frac{B}{L} \right) \cdot N_D \cdot \rho_D^{(r)} \cdot g \cdot D_{min} + (1 - 0,25 \frac{B}{L}) \cdot N_B \cdot \rho_B^{(r)} \cdot g \cdot B \right]$$

$$q_f = \left[ \left( 1 + 1,5 \cdot \frac{0,80}{30,27} \right) \cdot 18,40 \cdot 1,0 \cdot 0,93 + \left( 1 - 0,25 \cdot \frac{0,80}{30,27} \right) \cdot 7,53 \cdot 1,6 \cdot 0,9 \cdot 0,80 \right] = \\ = (209,08 + 97,72)$$

$q_f = 306,80 \text{ kPa.}$

Srednia obliczeniowa wartość parcia jednostkowego wynosi:

$$q_{rs} = (231,52 + 181,91)/2 = 206,72 \text{ kPa},$$

współczynnik korekcyjny  $m = 0,9 \cdot 0,9 = 0,81.$

Sprawdzenie warunków normowych:

$$q_{rs} < m \cdot q_f, \\ q_{rs} = 206,72 \text{ kPa} < m \cdot q_f = 0,81 \cdot 306,80 = 248,51 \text{ kPa}, \\ q_{r,max} < 1,2 \cdot m \cdot q_f,$$

$$q_{r,max} = 231,52 \text{ kPa} < 1,2 \cdot m \cdot q_f = 1,2 \cdot 0,81 \cdot 306,80 = 298,21 \text{ kPa}.$$

Warunki są spełnione. Ława fundamentowa spełnia wymagania dotyczące stanu granicznego nośności. Obliczenie oddziaływanego podłożo w przekroju krawędzi ściany:

$$q_1 = q_{r,max} - \frac{q_{r,max} - q_{r,min}}{B} \cdot s = 231,52 - \frac{231,52 - 181,91}{0,80} \cdot 0,21 = 218,50 \text{ kPa.}$$

Określenie momentu zginającego względem krawędzi ściany:

$$M_1 = \frac{1,0 \cdot s^2}{6} \cdot (2q_{r,max} + q_1) = \frac{1,0 \cdot 0,21^2}{6} \cdot (2 \cdot 231,52 + 218,50) = 5,01 \text{ kNm.}$$

Sprawdzenie warunku stanu granicznego nośności przekroju betonowego z zależnością:

$$M_1 < f_{ctd} \cdot W_f.$$

Zgodnie z PN-B-03264:2002 [37] wytrzymałość  $f_{ctd}$  w sytuacjach trwałych i przejściowych, oblicza się z zależnością:

$$f_{ctd} = 0,7 \cdot f_{cm}/1,8 = 0,389 \cdot f_{cm}.$$

Wskaznik wytrzymałości  $W_f$  przekroju oblicza się dla skrajnego włókna rozciągającego, z uwzględnieniem plastycznych właściwości betonu. W przypadku przekroju prostokątnego o wymiarach  $b \times h$ :

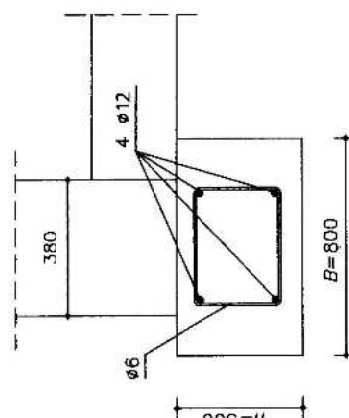
$$W_f = 0,292 \cdot b \cdot h^2.$$

Po uwzględnieniu tych zależności i przyjęciu  $b = 1,0 \text{ m}$ :

$$M_1 = 5,01 \text{ kNm} < f_{ctd} \cdot W_f = 0,389 \cdot 1,9 \cdot 10^3 \cdot 0,292 \cdot 1,0 \cdot 0,50^2 = 53,95 \text{ kNm}.$$

Obliczana ława fundamentowa spełnia warunki stanu granicznego nośności. Ostatecznie przyjęto pod ścianą zewnętrzną budynku ławę fundamentową betonową o szerokości 0,80 m i wysokości 0,50 m.

Za względów konstrukcyjnych ławę należy zazbroić, tak jak pokazano to na rysunku 9.9.



Rys. 9.9. Wymiary i sposób zazbrojenia ławy fundamentowej pod ścianą zewnętrzną

Poz. obl. 9.2. OBLCZENIE ŁAWY FUNDAMENTOWEJ POD ŚCIANĄ WEWNĘTRZNĄ

Dla ławy fundamentowej pod ścianą wewnętrzną przyjęto do obliczeń:

- szerokość ławy  $B = 1,50 \text{ m}$ ,
- szerokość ściany  $t = 0,38 \text{ m}$ ,
- szerokość odsadzki  $s = 0,56 \text{ m}$ .

#### Zestawienie obciążeń

Z Poz. obl. 7.2 wynika, że obciążenie pionowe od dachu, ścian i stropów budynku przekazywane jest na lawę, tak jako pokazano to na rysunkach 7.23 i 9.8b. Wartość tego obciążenia w przeliczeniu na 1 m długości ławy wynosi:

$$P_3 = (S_6 + S_7 + S_8 + S_9 + S_{10} + S_{11} + S_{12} + S_{13} + S_{14} + S_{15} + G_6 + G_7 + G_8 + G_9 + G_{10})/1,8 = (137,40 \cdot 2 + 37,59 \cdot 8 + 20,08 \cdot 5)/1,8 = 375,51 \text{ kN/m}.$$

Ciężar ławy:

$$P_6 = 0,50 \cdot 1,50 \cdot 24,0 \cdot 1,1 = 19,80 \text{ kN/m.}$$

Ciężar posadzki od strony piwnicy:

$$P_7 = 2 \cdot 0,56 \cdot 0,15 \cdot 23,0 \cdot 1,3 = 5,02 \text{ kN/m.}$$

Obciążenie pionowe podłożo:

$$N_1 = 375,51 + 19,80 + 5,02 = 400,33 \text{ kN/m.}$$

Mimośród obciążenia podłożo obliczony względem środka podstawy ławy wynosi:  
 $e_B = e_a = 0,01 \text{ m} < B/4 = 1,50/4 = 0,38 \text{ m.}$

Wypadkowa obciążenia znajduje się w rozcięciu podstawy. Ponieważ mimośród jest niewielki, przyjęto do dalszych obliczeń, że ława jest obciążona osiowo.

### Sprawdzenie stanu granicznego nośności lawy

Parcie jednostkowe wynosi:

$$q_{n_s} = \frac{N_f}{1,0 \cdot B} = 400,33 / (1,0 \cdot 1,5) = 266,89 \text{ kPa.}$$

Jednostkowy opór obliczeniowy podłożu, podobnie jak w *Poz. obl. 9.1.* wynosi:

$$\begin{aligned} q_f &= \left[ 1 + 1,5 \cdot \frac{1,50}{30,27} \right] \cdot 18,40 \cdot 10,93 + \left( 1 - 0,25 \cdot \frac{1,50}{30,27} \right) \cdot 7,53 \cdot 16,33 \cdot 1,50 \\ &= (216,06 + 182,16) = 398,22 \text{ kPa.} \end{aligned}$$

Sprawdzenie warunku normowego  $q_{rs} < m \cdot q_f$ :

$$q_{rs} = 266,89 \text{ kPa} < m \cdot q_f \approx 0,81 \cdot 398,22 = 322,56 \text{ kPa.}$$

Warunek jest spełniony. Lawa fundamentowa spełnia wymagania dotyczące stanu granicznego nośności.

Okreslenie momentu zginającego względem krawędzi ściany:

$$M_l = \frac{P_s \cdot s^2}{B \cdot 2} = \frac{375,51 \cdot 0,56^2}{1,5 \cdot 2} = 39,25 \text{ kNm.}$$

Sprawdzenie warunku stanu granicznego nośności przekroju betonowego:

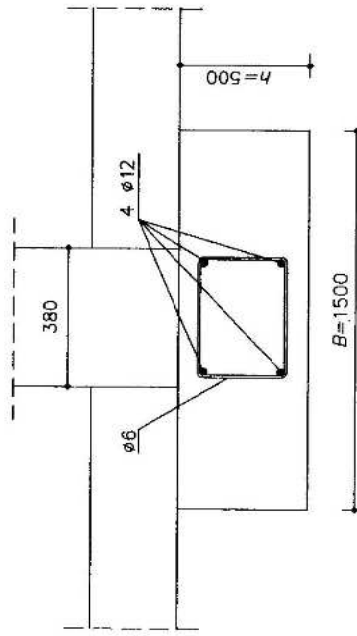
$$M_l < f_{ctd} \cdot W_f \quad (\text{analogicznie jak w } Poz. \text{ obl. 9.1})$$

$$M_l = 39,25 \text{ kNm} < f_{ctd} \cdot W_f = 0,389 \cdot 1,9 \cdot 10^3 \cdot 0,292 \cdot 1,0 \cdot 0,50^2 = 53,95 \text{ kNm.}$$

Obliziona lawa fundamentowa spełnia warunki stanu granicznego nośności.

Ostatecznie przyjęto pod ścianą wewnętrzną budynku lawę fundamentową betonową o szerokości 1,50 m i wysokość 0,50 m.

Za względu konstrukcyjnych lawę nałożyć zazbroić, tak jak pokazano to na rysunku 9.10.



Rys. 9.10. Wymiar i sposób zazbrojenia lawy fundamentowej pod ścianą wewnętrzną

## BIBLIOGRAFIA

- Jednostkowy opór obliczeniowy podłożu, podobnie jak w *Poz. obl. 9.1.* wynosi:
- Wykaz piśmiennictwa**
- [1] BOGUCKI W., ŻYBURTOWICZ M., *Tablice do projektowania konstrukcji metalowych*. Arkady, Warszawa 1984.
  - [2] DĄBROWSKI Z., *Strop gęstożebrowy DZ-3*. Arkady, Warszawa 1973.
  - [3] DZIARNOWSKI Z., MICHNIEWICZ W., *Konstrukcje z drewna i materiałów drewnopochodnych*. Arkady, Warszawa 1974.
  - [4] HYKS P., GABORIK M., VRANA O., SIEWCZYNSKA M., *Obracanie izolacyjności termicznej i możliwości murowanych ścian zewnętrznych*. Wydawnictwo Politechniki Poznańskiej, Poznań 2005.
  - [5] JASICKA J., KUINSKI M., SIEWCZYNSKA M., *Obliczanie izolacyjności termicznej i możliwości murowanych ścian zewnętrznych*. Wydawnictwo Politechniki Poznańskiej, Poznań 2005.
  - [6] LEWICKI B., SIECKOWSKI J., *Projektowanie konstrukcyjno-budowlane ścian w systemie Porotherm*. Wienerberger Ceramika Budowlana, Warszawa 2000.
  - [7] KAMIŃSKI M., PEDEZWIAŁT J., STYŚ D., *Projektowanie konstrukcji żelbetowych wg normy PN-B-03264*; 2002, Dolnośląskie Wydawnictwo Edukacyjne, Wrocław 2004.
  - [8] MALINOWSKI Cz., PELA R., *Projektowanie konstrukcji murowych i stropów w budownictwie tradycyjnym*. Wydawnictwo Politechniki Łódzkiej, Łódź 1999.
  - [9] MARTINEK W., MICHNOWSKI Z., *Dekarswo i blicharstwo budowlane*. Wydawnictwa Szkoły i Pedagogiczne, Warszawa 1990.
  - [10] MATYSEK P., *Konstrukcje murowe. Zasady projektowania z przykładami obliczeń wg normy PN-B-03002*; 1999. Wydawnictwo Politechniki Krakowskiej, Kraków 2001.
  - [11] MICHALAK H., PYRAK S., *Domy jednorodzinne. Konstruowanie i obliczanie*. Arkady, Warszawa 2000.
  - [12] NELHAUS H., *Budownictwo drewniane – podręcznik inżyniera*. Polskie Wydawnictwo Techniczne, Rzeszów 2004.
  - [13] NIEDOSTATKIEWICZ M., *Budownictwo Ogólne. Przykłady obliczeń*. Wydawnictwo Politechniki Gdańskiej, Gdańsk 1999.
  - [14] POGORZELSKI A., SIECZKOWSKI J., *Normy w warunkach gospodarki rynkowej*. Inżynieria i Budownictwo, 2004, nr 3.
  - [15] RYBAK Cz., PUŁA O., SARNIAK W., *Fundamentowanie. Projektowanie posadzien*. Dolnośląskie Wydawnictwo Edukacyjne, Wrocław 2001.
  - [16] *Stropy i nadproża ceramiczne Porotherm*. Wienerberger Ceramika Budowlana, Warszawa 2005.

- [17] WAJDZIK Cz., *Wieżby dachowe. Wydawnictwo Akademii Rolniczej we Wrocławiu*, Wrocław 2001.
- [18] ŻENCZYKOWSKI W., *Budownictwo ogólne. Elementy i konstrukcje budowlane*. T. 2/I, Arkady, Warszawa 1992.

#### **Wykaz przepisów i polskich norm**

- [19] Ustawa z dnia 7 lipca 1994 r. *Prawo budowlane*. Dz.U. nr 89 z 1994 r., poz. 414, z późniejszymi zmianami.
- [20] Rozporządzenie ministra infrastruktury z dnia 12 kwietnia 2002 r. w sprawie warunków technicznych, jakim powinny odpowiadać budynki i ich usytuowanie. Dz.U. nr 75 z dnia 15 czerwca 2002 r., poz. 690, z późniejszymi zmianami.
- [21] PN-89/B-01022. Schody state. Określenia i podział.
- [22] PN-82/B-02000. Obciążenia budowli. Zasady ustalania wartości.
- [23] PN-82/B-02001. Obciążenia budowli. Obciążenia stałe.
- [24] PN-82/B-02003. Obciążenia budowli. Obciążenia zmienne technologiczne. Podstawowe obciążenia technologiczne i monażowe.
- [25] PN-82/B-02004. Obciążenia budowli. Obciążenia zmienne technologiczne. Obciążenia pojazdami.
- [26] PN-80/B-02010. Obciążenia w obliczeniach statycznych. Obciążenie śniegiem.
- [27] PN-77/B-02011. Obciążenia w obliczeniach statycznych. Obciążenie wiatrem.
- [28] PN-88/B-02014. Obciążenia budowli. Obciążenie gruntem.
- [29] PN-B-02361:1999. Pochylenia polaci dachowych.
- [30] PN-B-02479:1998. Geotechnika. Dokumentowanie geotechniczne. Zasady ogólne.
- [31] PN-90/B-03000. Projekty budowlane. Obliczenia statyczne.
- [32] PN-76/B-03001. Konstrukcje i podłożą budowli. Ogólne zasady obliczeń.
- [33] PN-B-03002:1999 + poprawka Apl, zmiany Az1, Az2. Konstrukcje murowe niezbrojone. Projektowanie i obliczanie.
- [34] PN-81/B-03020. Grunty budowlane. Posadowienia bezpośrednie budowli. Obliczenia statyczne i projektowanie.
- [35] PN-B-03150:2000 + zmiany Az1, Az2, Az3. Konstrukcje drewniane. Obliczenia statyczne i projektowanie.
- [36] PN-90/B-03200. Konstrukcje stalowe. Obliczenia statyczne i projektowanie.
- [37] PN-B-03264:2002. Konstrukcje betonowe, żelbetowe i spręzione. Obliczenia statyczne i projektowanie.
- [38] PN-B-03340:1999 + zmiana Az1. Konstrukcje murowe zbrojone. Projektowanie i obliczanie.
- [39] PN-85/B-04500. Zaprawy budowlane. Badania cech fizycznych i wytrzymałościowych.
- [40] PN-88/B-06250. Beton zwykły.
- [41] PN-B-11207:1996. Materiały kamienne. Kształtki budowlane. Cegły dzierawki.
- [42] PN-B-12002:1997. Wyroby budowlane ceramiczne. Cegły dzierawki.
- [43] PN-B-12008:1996. Wyroby budowlane ceramiczne. Cegły klinkierowe budowlane.
- [44] PN-B-12011:1997. Wyroby budowlane ceramiczne. Cegły kratówki.
- [45] PN-B-12050:1996. Wyroby budowlane ceramiczne. Cegły budowlane.
- [46] PN-B-12051:1996. Wyroby budowlane ceramiczne. Cegły modularne.
- [47] PN-B-12055:1996. Wyroby budowlane ceramiczne. Pustaki ścienne modularne.
- [48] PN-B-12066:1998. Wyroby budowlane szkikatowe. Cegły, bloki, elementy.
- [49] PN-B-12069:1998. Wyroby budowlane ceramiczne. Cegły, pustaki, elementy pozywane.
- [50] PN-B-19301:1997. Prefabrykaty budowlane z autoklawizowanego betonu komórkowego. Elementy drobnymiarkowe.
- [51] PN-B-82022:1997. Belki stropowe CERAM.
- [52] PN-B-82023:1997. Wyroby budowlane ceramiczne. Pustaki stropowe CERAM.
- [53] PN-B-82024:1997. Wyroby budowlane ceramiczne. Kształtki do belek stropowych CERAM.
- [54] PN-B-82027:1999. Elementy stropów SPP. Belki.
- [55] PN-B-82028:1999. Elementy stropów SPP. Klatownice.
- [56] PN-B-82029:1999. Elementy stropów SPP. Pustaki ceramiczne porzywane.
- [57] PN-82/D-94021. Tarcica iglasta konstrukcyjna sortowana metodami wytrzymałościowymi.
- [58] PN-75/D-96000. Tarcica iglasta ogólnego przeznaczenia.
- [59] PN-EN-338:2004. Drewno konstrukcyjne. Klasy wytrzymałości.
- [60] PN-EN-383:1998. Konstrukcje drewniane. Metody badań. Określanie wytrzymałości na decysk do podleża dla łączników trzpieniowych.
- [61] PN-EN-409:1998. Konstrukcje drewniane. Metody badań. Określanie momen-tu uplastycznienia gwoździ.
- [62] PN-EN-771 – grupa norm o wspólnym tytule: *Wymagania dla elementów muro-owych*.
- [63] PN-EN-772 – grupa norm o wspólnym tytule: *Metody badań elementów muro-wych*.
- [64] PN-EN-998-2:2004. *Wymagania dotyczące zaprawy do murów Część 2. Zaprawa murarska*.
- [65] PN-EN-1015 – grupa norm o wspólnym tytule: *Wymagania dotyczące zapraw do murów*.
- [66] PN-EN-1052 – grupa norm o wspólnym tytule: *Metody badań murów*.
- [67] PN-EN-2689:1997. *Konstrukcje drewniane – łączka na łączniki mechaniczne. Ogólna zasada określania nośności i odkształcalności*.
- [68] PN-EN ISO 898-1:2001. *Właściwości mechaniczne części złącznych wykonanych ze stali węglowej oraz stopowej. Śruby i śruby dwustronne*.

#### **Wykaz aprobat i świadców ITB**

- [69] AT-15-2514/97. *Elementy stropowe typu CERAM 50 i CERAM 60*.
- [70] AT-15-2687/97. *Elementy stropowe typu Feri 40*.